



Universidade de Brasília

Departamento de Ciência da Computação

Disciplina: CIC0099 – Organização e Arquitetura de Computadores – Unificado

Laboratório 1

Assembly RISC-V

Grupo:

Gabriel de Sousa – 211056000

Ana Luísa Reis Nascente – 211045688

Guilherme Henrique Oliveira Araujo – (matrícula)

Gabriel Pinto Rodrigues – 241002331

Victor Yan Martinez – 241032994

Conteúdo

Introdução	1
1) Simulador/Montador RARS	1
2) Compilador cruzado GCC	3
3) Transformada Discreta de Fourier (DFT)	21
3.1) SINCOS	21
Resposta à Questão 3.1	21
3.2) DFT	25
Resposta à Questão 3.2	25
3.3) Programa main	31
3.4) Resultados DFT	33
3.5) Análise de desempenho	40

Introdução

Este relatório segue a estrutura solicitada no enunciado do Laboratório 1 (OAC_LAB1). O objetivo principal é desenvolver habilidades práticas em linguagem Assembly RISC-V utilizando o simulador RARS e ferramentas de compilação cruzada. As atividades envolvem: implementação e análise de algoritmos em Assembly, medição de desempenho usando CSRs, comparação do código gerado pelo compilador cruzado gcc com diferentes níveis de otimização, e implementação da Transformada Discreta de Fourier (DFT) em Assembly.

O relatório está organizado na forma de *resposta ao item*, contendo apenas os itens que valem ponto, e mantendo as perguntas explicitamente conforme solicitado no enunciado. As seções seguintes reproduzem as perguntas do enunciado para que as respostas possam ser inseridas diretamente abaixo de cada item.

(2.5) 1) Simulador/Montador RARS

(2.5) 1.2) Considere a execução deste algoritmo em um processador RISC-V com frequência de clock de 50MHz que necessita 1 ciclo de clock para a execução de cada instrução ($CPI = 1$).

Para os vetores de entrada de n elementos já ordenados $V_o[n] = \{1, 2, 3, 4, \dots, n\}$ e ordenados inversamente $V_i[n] = \{n, n-1, n-2, \dots, 2, 1\}$:

- (1.5) a) Para o procedimento `sort`, escreva as equações dos tempos de execução, $t_o(n)$ e $t_i(n)$, em função de n .
- (1.0) b) Para $n = \{10, 20, 30, 40, 50, 60, 70, 80, 90, 100\}$, plote (em escala!) as duas curvas, $t_o(n)$ e $t_i(n)$, em um mesmo gráfico $n \times t$. Comente os resultados obtidos.

1.2(a) Equações do Tempo de Execução

As equações teóricas para o tempo de execução do algoritmo `SORT` foram desenvolvidas para o melhor caso (vetor já ordenado) e o pior caso (vetor ordenado de forma inversa), considerando um processador RISC-V com frequência de 50 MHz e $CPI=1$.

Caso Melhor (vetor já ordenado $V_o[n] = \{1, 2, 3, \dots, n\}$)

- Número de ciclos (instruções):

$$C_{best}(n) = 11n + 14$$

- Tempo em microssegundos (μs), dado $f = 50 \times 10^6 Hz$:

$$t_o(n) = \frac{C_{best}(n)}{f} = \frac{11n + 14}{50 \times 10^6} s = \frac{11n + 14}{50} \mu s$$

Caso Pior (vetor inversamente ordenado $V_i[n] = \{n, n - 1, \dots, 1\}$)

- Número de ciclos:

$$C_{worst}(n) = \frac{11}{2}n^2 + \frac{11}{2}n + 3$$

- Tempo em microssegundos (μs):

$$t_i(n) = \frac{C_{worst}(n)}{f} = \frac{\frac{11}{2}n^2 + \frac{11}{2}n + 3}{50 \times 10^6} s = \frac{\frac{11}{2}n^2 + \frac{11}{2}n + 3}{50} \mu s$$

1.2(b) Dados para o Gráfico e Análise

Dados Calculados

A tabela abaixo apresenta os tempos de execução calculados para o melhor caso ($t_o(n)$) e o pior caso ($t_i(n)$) para os valores de n de 10 a 100.

n	$t_o(n)(\mu s)$	$t_i(n)(\mu s)$
10	2.48	12.16
20	4.68	46.26
30	6.88	102.36
40	9.08	180.46
50	11.28	280.56
60	13.48	402.66
70	15.68	546.76
80	17.88	712.86
90	20.08	900.96
100	22.28	1111.06

Tabela 1: Tempos de execução calculados para diferentes valores de n .

Gráfico Comparativo

A Figura 1 apresenta a comparação entre os tempos de execução do melhor caso ($t_o(n)$) e do pior caso ($t_i(n)$) em função do tamanho do vetor n .

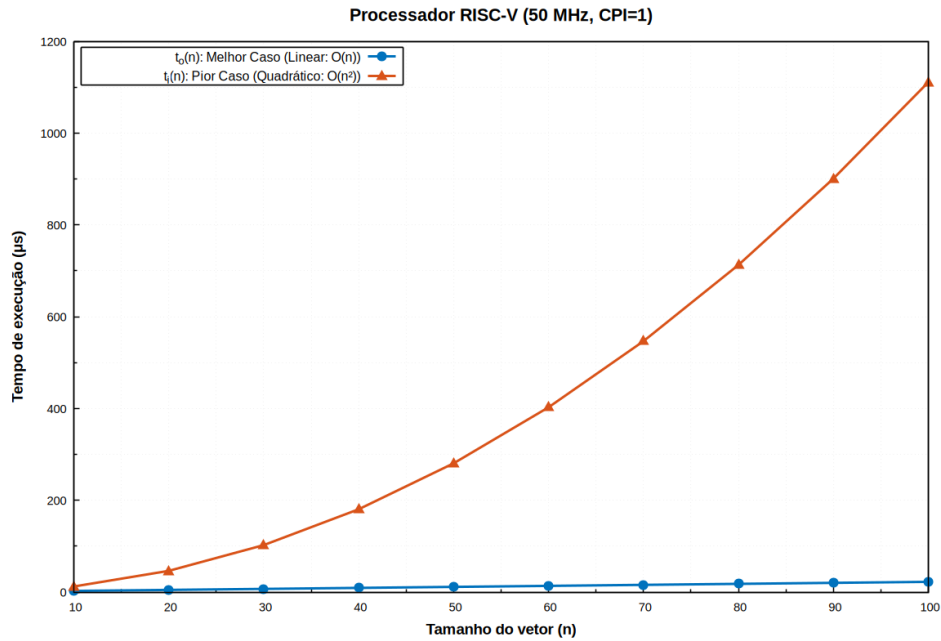


Figura 1: Tempo de execução vs. tamanho do vetor n para melhor e pior caso.

Análise dos Resultados

Conforme observado na Figura 1, a curva de melhor caso ($t_o(n)$) demonstra um crescimento linear em relação a n , resultado direto da equação $t_o(n) = \frac{11n+14}{50}$. Em contraste, a curva de pior caso ($t_i(n)$) apresenta um crescimento quadrático, tornando-se significativamente maior à medida que n aumenta, conforme esperado pela equação $t_i(n) = \frac{\frac{11}{2}n^2 + \frac{11}{2}n + 3}{50}$.

Esta análise ressalta a sensibilidade do algoritmo de ordenação à disposição inicial dos dados, sendo muito eficiente para entradas quase ordenadas, mas impraticável para entradas grandes e inversamente ordenadas. Por exemplo, para $n = 100$, o tempo do pior caso ($1111.06 \mu s$) é aproximadamente 50 vezes maior que o tempo do melhor caso ($22.28 \mu s$).

2) Compilador cruzado GCC

Um compilador cruzado (*cross compiler*) compila um código fonte para uma arquitetura diferente daquela da máquina em que está sendo utilizado. Você pode baixar gratuitamente os compiladores gcc para todas as arquiteturas (RISC-V, ARM, MIPS, x86 etc.) e instalar na sua máquina, sendo que o código executável gerado apenas poderá ser executado em uma máquina que possuir o processador para qual foi compilado. No gcc, a diretiva de compilação `-S` faz com que o processo pare com a geração do arquivo em Assembly e a diretiva `-march` permite definir a arquitetura a ser utilizada.

Exemplos:

```
riscv64-unknown-elf-gcc -S -march=rv32imf -mabi=ilp32f # RV32IMF
arm-eabi-gcc -S -march=armv7 # ARMv7
gcc -S -m32 # x86 32-bit
```

2.1 Enunciado

Dado o programa `sortc.c`, compile-o com a diretiva `-O0` e obtenha o arquivo `sortc.s`. Indique as modificações necessárias no código Assembly gerado para que possa ser executado corretamente no Rars.

Dica: Uso de Assembly em um programa em C. Use a função `show` definida no `sort.s` para não precisar implementar a função `printf`, conforme mostrado no `sortc_mod.c`.

2.2 Modificações Necessárias no Código Assembly Gerado (-O0)

Para executar o código Assembly gerado pelo compilador (com diretiva `-O0`) no RARS, as seguintes modificações foram necessárias:

1. **Substituição de chamadas de funções:** A instrução `call` gerada pelo compilador não é suportada diretamente pelo RARS. É necessário substituí-la por `jal ra, function_name`.
2. **Substituição de argumentos:** O compilador online gerou `.LANCHORO` em diversos casos para se referir ao vetor. Não sendo suportado pelo RARS e necessitando da troca pelo vetor `v` declarado.
3. **Ajustes nos endereços de memória:** O código gerado utiliza diretivas como `%hi` e `%lo` para carregar endereços. No RARS, é mais prático usar a pseudoinstrução `la` (load address), mas o RARS entende a chamada mesmo assim.
4. **Adição de chamada de sistema para encerramento:** No RARS, é necessário adicionar uma chamada de sistema para encerrar o programa corretamente. O compilador não os adiciona.

```
1  li a7, 10
2  ecall
```

5. **Simplificação do gerenciamento de pilha:** O código gerado pelo compilador com `-O0` faz uso excessivo da pilha, o que pode ser simplificado para melhorar o desempenho.
6. **Adaptação da função `show`:** A função `show` foi adaptada para usar `ecall` do RARS para a impressão dos valores, ao invés de chamar a função `printf` do C.
7. **Remoção de instruções `nop` desnecessárias:** O compilador gerou instruções `nop` para alinhamento, que podem ser removidas no RARS.

2.3 Comparação entre Diferentes Níveis de Otimização

Foram analisados três arquivos Assembly gerados com diferentes níveis de otimização:

A Figura 2 apresenta uma visualização gráfica dos dados da Tabela 5, permitindo uma comparação imediata do impacto de cada nível de otimização tanto no número de instruções executadas quanto no tamanho do arquivo gerado.

Arquivo	Otimização	Instruções	Tamanho
2_3_O0.asm	-O0 (Sem otimização)	10103	3.817 bytes
2_3_O3.asm	-O3 (Otimização máxima)	2484	2.152 bytes
2_3_Os.asm	-Os (Otimização p/ tamanho)	4406	2.543 bytes

Tabela 2: Comparativo entre diferentes níveis de otimização

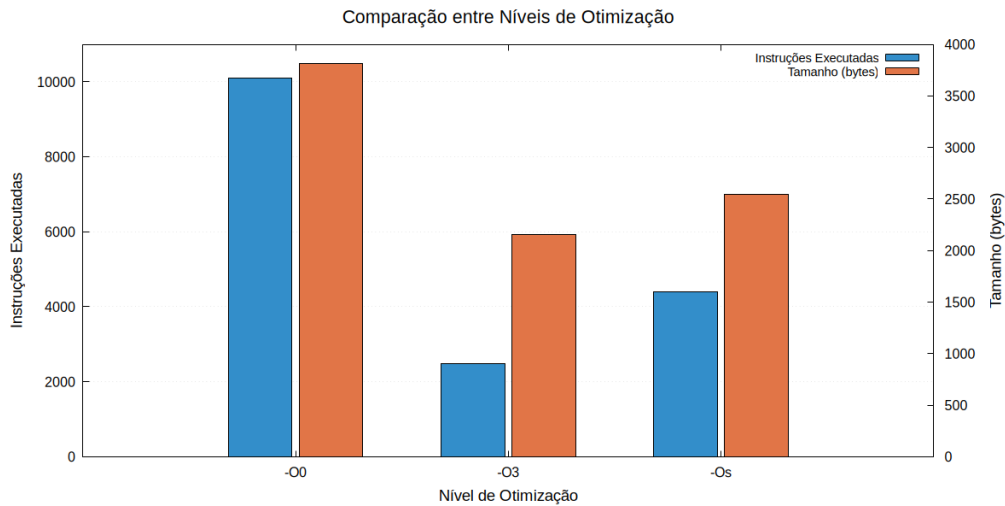


Figura 2: Comparação visual entre níveis de otimização: número de instruções e tamanho do arquivo.

Observa-se que a otimização `-O3` apresenta a melhor performance em termos de instruções executadas (redução de 75%), enquanto `-Os` oferece o melhor compromisso entre tamanho e desempenho.

2.4 Análise do Código Sem Otimização (-O0)

Listing 1: Código Assembly gerado com `-O0`

```

1  .data
2  v:
3  .word 9, 2, 5, 1, 8, 2, 4, 3, 6, 7
4  .word 10, 2, 32, 54, 2, 12, 6, 3, 1, 78
5  .word 54, 23, 1, 54, 2, 65, 3, 6, 55, 31
6
7  .text
8  main:
9  addi sp, sp, -16
10 sw ra, 12(sp)
11 sw s0, 8(sp)
12 addi s0, sp, 16
13 li a1, 30
14 lui a5, %hi(v)
15 addi a0, a5, %lo(v)
16 call show
17 li a1, 30
18 lui a5, %hi(v)

```

```

19 addi a0, a5, %lo(v)
20 call sort
21 li a1, 30
22 lui a5, %hi(v)
23 addi a0, a5, %lo(v)
24 call show
25 li a5, 0
26 mv a0, a5
27 lw ra, 12(sp)
28 lw s0, 8(sp)
29 addi sp, sp, 16
30 li a7, 10
31 ecall
32
33 show:
34 addi sp, sp, -32
35 sw ra, 28(sp)
36 sw s0, 24(sp)
37 addi s0, sp, 32
38 sw a0, -20(s0)
39 sw a1, -24(s0)
40 lw a5, -20(s0)
41 lw a4, -24(s0)
42 mv t0, a5
43 mv t1, a4
44 mv t2, zero
45 loop1:
46 beq t2, t1, fim1
47 li a7, 1
48 lw a0, 0(t0)
49 ecall
50 li a7, 11
51 li a0, 9
52 ecall
53 addi t0, t0, 4
54 addi t2, t2, 1
55 j loop1
56 fim1:
57 li a7, 11
58 li a0, 10
59 ecall
60 nop
61 lw ra, 28(sp)
62 lw s0, 24(sp)
63 addi sp, sp, 32
64 jr ra
65
66 swap:
67 addi sp, sp, -48
68 sw ra, 44(sp)
69 sw s0, 40(sp)

```



```

70 addi s0, sp, 48
71 sw a0, -36(s0)
72 sw a1, -40(s0)
73 lw a5, -40(s0)
74 slli a5, a5, 2
75 lw a4, -36(s0)
76 add a5, a4, a5
77 lw a5, 0(a5)
78 sw a5, -20(s0)
79 lw a5, -40(s0)
80 addi a5, a5, 1
81 slli a5, a5, 2
82 lw a4, -36(s0)
83 add a4, a4, a5
84 lw a5, -40(s0)
85 slli a5, a5, 2
86 lw a3, -36(s0)
87 add a5, a3, a5
88 lw a4, 0(a4)
89 sw a4, 0(a5)
90 lw a5, -40(s0)
91 addi a5, a5, 1
92 slli a5, a5, 2
93 lw a4, -36(s0)
94 add a5, a4, a5
95 lw a4, -20(s0)
96 sw a4, 0(a5)
97 nop
98 lw ra, 44(sp)
99 lw s0, 40(sp)
100 addi sp, sp, 48
101 jr ra
102
103 sort:
104 addi sp, sp, -48
105 sw ra, 44(sp)
106 sw s0, 40(sp)
107 addi s0, sp, 48
108 sw a0, -36(s0)
109 sw a1, -40(s0)
110 sw zero, -20(s0)
111 j .L4
112 .L8:
113 lw a5, -20(s0)
114 addi a5, a5, -1
115 sw a5, -24(s0)
116 j .L5
117 .L7:
118 lw a1, -24(s0)
119 lw a0, -36(s0)
120 call swap

```

```

121 lw a5, -24(s0)
122 addi a5, a5, -1
123 sw a5, -24(s0)
124 .L5:
125 lw a5, -24(s0)
126 blt a5, zero, .L6
127 lw a5, -24(s0)
128 slli a5, a5, 2
129 lw a4, -36(s0)
130 add a5, a4, a5
131 lw a4, 0(a5)
132 lw a5, -24(s0)
133 addi a5, a5, 1
134 slli a5, a5, 2
135 lw a3, -36(s0)
136 add a5, a3, a5
137 lw a5, 0(a5)
138 bgt a4, a5, .L7
139 .L6:
140 lw a5, -20(s0)
141 addi a5, a5, 1
142 sw a5, -20(s0)
143 .L4:
144 lw a4, -20(s0)
145 lw a5, -40(s0)
146 blt a4, a5, .L8
147 nop
148 nop
149 lw ra, 44(sp)
150 lw s0, 40(sp)
151 addi sp, sp, 48
152 jr ra

```

2.5 Análise do Código com Otimização Máxima (-O3)

Listing 2: Código Assembly gerado com -O3

```

1 .data
2 v:
3 .word 9, 2, 5, 1, 8, 2, 4, 3, 6, 7
4 .word 10, 2, 32, 54, 2, 12, 6, 3, 1, 78
5 .word 54, 23, 1, 54, 2, 65, 3, 6, 55, 31
6
7 .text
8 main:
9 # Carrega o endereço do vetor v
10 la a0, v
11 li a1, 30
12 # Primeira chamada da funcao show
13 jal ra, show
14 # Chama a funcao sort

```

```

15 la a0, v
16 li a1, 30
17 jal ra, sort
18 # Segunda chamada da funcao show
19 la a0, v
20 li a1, 30
21 jal ra, show
22 # Retorno da funcao main
23 li a0, 0
24 ret
25
26 show:
27 mv t0, a0
28 mv t1, a1
29 mv t2, zero
30 show_loop:
31 beq t2, t1, show_fim
32 li a7, 1
33 lw a0, 0(t0)
34 ecall
35 li a7, 11
36 li a0, 9
37 ecall
38 addi t0, t0, 4
39 addi t2, t2, 1
40 j show_loop
41 show_fim:
42 li a7, 11
43 li a0, 10
44 ecall
45 ret
46
47 swap:
48 slli a1, a1, 2
49 add a0, a0, a1
50 lw a4, 0(a0)
51 lw a5, 4(a0)
52 sw a5, 0(a0)
53 sw a4, 4(a0)
54 ret
55
56 sort:
57 ble a1, zero, .L4
58 li a6, -1
59 add a7, a1, a6
60 mv a1, a6
61 .L7:
62 mv a4, a6
63 mv a5, a0
64 bne a6, a1, .L6
65 j .L8

```

```

66 .L9:
67 lw t0, -4(a5)
68 lw t1, 0(a5)
69 sw t1, -4(a5)
70 sw t0, 0(a5)
71 addi a5, a5, -4
72 beq a4, a1, .L8
73 .L6:
74 lw a2, -4(a5)
75 lw a3, 0(a5)
76 addi a4, a4, -1
77 bgt a2, a3, .L9
78 .L8:
79 addi a6, a6, 1
80 addi a0, a0, 4
81 bne a7, a6, .L7
82 ret
83 .L4:
84 ret

```

2.6 Análise do Código com Otimização para Tamanho (-Os)

Listing 3: Código Assembly gerado com -Os

```

1  .data
2  v:
3  .word 9, 2, 5, 1, 8, 2, 4, 3, 6, 7
4  .word 10, 2, 32, 54, 2, 12, 6, 3, 1, 78
5  .word 54, 23, 1, 54, 2, 65, 3, 6, 55, 31
6
7  .text
8  main:
9  lui a0, %hi(v)
10 addi sp, sp, -16
11 addi a0, a0, %lo(v)
12 li a1, 30
13 sw ra, 12(sp)
14 sw s0, 8(sp)
15 call show
16 lui s0, %hi(v)
17 addi a0, s0, %lo(v)
18 li a1, 30
19 call sort
20 addi a0, s0, %lo(v)
21 li a1, 30
22 call show
23 lw ra, 12(sp)
24 lw s0, 8(sp)
25 li a0, 0
26 addi sp, sp, 16
27 .set .LANCHOR0, v

```

```

28  li a7, 10
29  ecall
30
31  show:
32  mv t0, a0
33  mv t1, a1
34  mv t2, zero
35  loop1:
36  beq t2, t1, fim1
37  li a7, 1
38  lw a0, 0(t0)
39  ecall
40  li a7, 11
41  li a0, 9
42  ecall
43  addi t0, t0, 4
44  addi t2, t2, 1
45  j loop1
46  fim1:
47  li a7, 11
48  li a0, 10
49  ecall
50  ret
51
52  swap:
53  slli a1, a1, 2
54  add a5, a0, a1
55  addi a1, a1, 4
56  add a0, a0, a1
57  lw a3, 0(a0)
58  lw a4, 0(a5)
59  sw a3, 0(a5)
60  sw a4, 0(a0)
61  ret
62
63  sort:
64  addi sp, sp, -48
65  sw s1, 36(sp)
66  sw s2, 32(sp)
67  sw s3, 28(sp)
68  sw ra, 44(sp)
69  sw s0, 40(sp)
70  mv s3, a1
71  li s1, 0
72  li s2, -1
73  .L4:
74  blt s1, s3, .L9
75  lw ra, 44(sp)
76  lw s0, 40(sp)
77  lw s1, 36(sp)
78  lw s2, 32(sp)

```

```

79 lw s3, 28(sp)
80 addi sp, sp, 48
81 jr ra
82 .L9:
83 slli s0, s1, 2
84 addi a1, s1, -1
85 add s0, a0, s0
86 .L5:
87 bne a1, s2, .L6
88 .L8:
89 addi s1, s1, 1
90 j .L4
91 .L6:
92 lw a4, -4(s0)
93 addi s0, s0, -4
94 lw a5, 4(s0)
95 ble a4, a5, .L8
96 sw a1, 12(sp)
97 sw a0, 8(sp)
98 call swap
99 lw a1, 12(sp)
100 lw a0, 8(sp)
101 addi a1, a1, -1
102 j .L5

```

2.7 Conclusões

1. **Impacto da Otimização:** A otimização -O3 reduziu o número de instruções executadas em aproximadamente 75% em relação ao código sem otimização (-O0), demonstrando a eficácia das técnicas de otimização do compilador.
2. **Compromisso Tamanho vs. Desempenho:** A otimização -Os oferece um equilíbrio interessante, tendo um número de instruções aproximadamente 32% menor que o código não otimizado, mas ainda 77% maior que o código com otimização máxima.
3. **Adaptação para RARS:** O código gerado pelo compilador precisa ser adaptado para funcionar corretamente no simulador RARS. Isso inclui modificações nas chamadas de função, acesso à memória e uso das chamadas de sistema do RARS.
4. **Benefícios Educacionais:** A comparação entre os diferentes níveis de otimização fornece insights valiosos sobre as estratégias empregadas pelos compiladores modernos para melhorar o desempenho do código. As modificações necessárias para executar o código no RARS demonstram as diferenças entre o assembly gerado para um sistema real e o ambiente de simulação, destacando a importância de compreender as convenções de chamada de função e o modelo de execução de um processador RISC-V.

2.8 Relatório Comparativo - Código RISC-V -O0 vs -O1

Introdução

Este relatório apresenta uma análise comparativa entre código RISC-V compilado com diferentes níveis de otimização: -O0 (sem otimização) e -O1 (otimização básica). O objetivo é demonstrar o impacto das otimizações de compilador no número de instruções e ciclos de execução.

Código sem Otimização (-O0)

Com o nível de otimização -O0, o compilador gera código sem qualquer otimização, mantendo funções separadas com chamadas explícitas:

```
1  .data
2  newline: .asciz "\n"
3  space: .asciz " "
4  .text
5  .globl main
6  main:
7  li a0, 7
8  mv a1, a0
9  ...
10 # funcoes f1_label a f6_label abaixo
11 f1_label:
12 slli a0, a0, 2
13 ret
14 f2_label:
15 slli a0, a0, 2
16 ret
17 f3_label:
18 add a0, a0, a0
19 add a0, a0, a0
20 ret
21 f4_label:
22 li t0, 3
23 mul t1, a0, t0
24 add a0, t1, a0
25 ret
26 f5_label:
27 slli t0, a0, 1
28 slli t1, a0, 1
29 add a0, t0, t1
30 ret
31 f6_label:
32 li t0, 4
33 mul a0, a0, t0
34 ret
```

Saída do Terminal (-O0)

Ao executar o código sem otimização, obtemos os seguintes resultados para número de instruções e ciclos:

```
5 5
5 5
6 6
7 7
7 7
6 6
```

Código com Otimização (-O1)

Com o nível de otimização -O1, o compilador aplica otimizações básicas, incluindo inline de funções:

```
1  .data
2  newline: .asciz "\n"
3  space: .asciz " "
4  .text
5  .globl main
6  main:
7  li a0, 7
8  ...
9  # funcoes inline para f1 a f6
10 f1: slli a0, a0, 2
11 f2: slli a0, a0, 2
12 f3: add a0, a0, a0 ; add a0, a0, a0
13 f4: li t0, 3 ; mul t1, a0, t0 ; add a0, t1, a0
14 f5: slli t0, a0, 1 ; slli t1, a0, 1 ; add a0, t0, t1
15 f6: li t0, 4 ; mul a0, a0, t0
```

5.1 Saída do Terminal (-O1)

Ao executar o código com otimização básica, obtemos os seguintes resultados:

```
3 3
3 3
4 4
5 5
5 5
4 4
```

Análise Comparativa

Observações sobre a Medição

Os números exibidos no terminal do RARS refletem o custo total da execução da função, incluindo as instruções de medição (`csrr`), chamada com `jal`, a execução da função em si, e o `ret`. Ou seja, o valor inclui mais do que apenas o conteúdo da função. Apesar disso,

essa medição é válida para comparar o desempenho relativo entre as implementações, especialmente quando usamos o mesmo padrão de medição para todas.

2.8.2 Tabela de Resultados

Função	Otimização	Implementação	Instruções	Ciclos
f1	-O0	Função separada	5	5
f1	-O1	Inline	3	3
f2	-O0	Função separada	5	5
f2	-O1	Inline	3	3
f3	-O0	Função separada	6	6
f3	-O1	Inline	4	4
f4	-O0	Função separada	7	7
f4	-O1	Inline	5	5
f5	-O0	Função separada	7	7
f5	-O1	Inline	5	5
f6	-O0	Função separada	6	6
f6	-O1	Inline	4	4

Tabela 3: Comparação de instruções e ciclos entre implementações com e sem otimização

A Figura 3 ilustra graficamente a comparação entre as versões -O0 e -O1, tornando evidente a redução consistente no número de instruções para todas as funções analisadas.

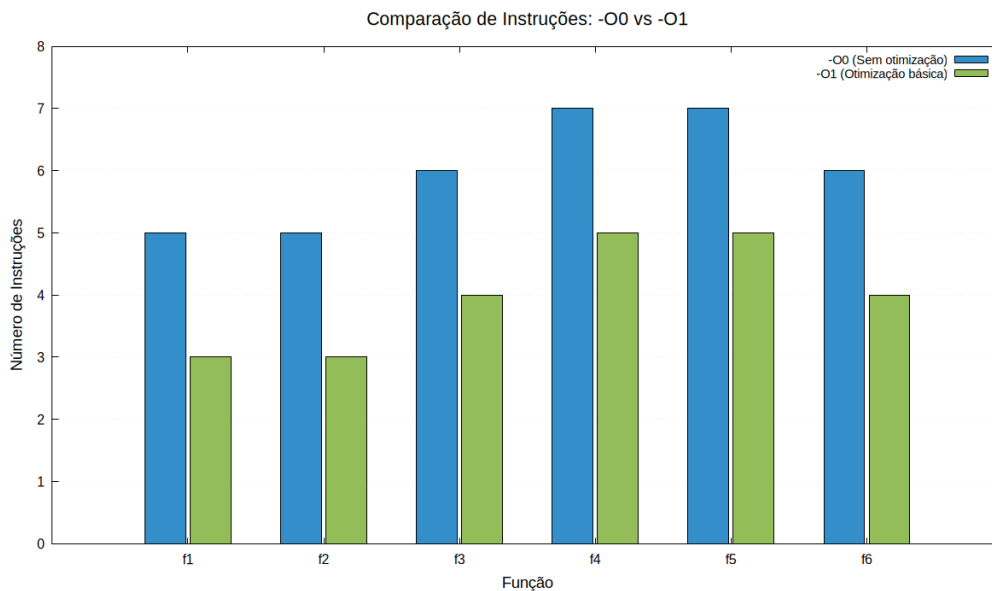


Figura 3: Comparação visual do número de instruções por função nos níveis -O0 e -O1.

2.8.3 Análise Visual

Como pode ser observado na Figura 3, todas as funções apresentam uma redução uniforme de 2 instruções ao passar de -O0 para -O1. Esta redução é resultado direto da eliminação das instruções de controle de fluxo (`jal` e `ret`) através do inlining de funções.

2.8.4 Gráfico Comparativo (Análise Textual)

Detalhamento das Otimizações

Eliminação de Instruções de Controle A principal otimização observada na passagem de -O0 para -O1 é a eliminação das instruções de controle de fluxo:

- Sem o `jal`: Economiza uma instrução de chamada de função
- Sem o `ret`: Economiza uma instrução de retorno de função

Isto explica a redução de 2 instruções em todas as funções analisadas.

Representação Numérica da Redução Além do inlining, outras otimizações poderiam ser aplicadas em níveis mais altos:

- Substituição de operações de multiplicação por deslocamentos quando o multiplicador é uma potência de 2
- Combinação de múltiplas instruções em uma única instrução mais eficiente
- Eliminação de registradores temporários desnecessários

2.8.5 Conclusão

A comparação entre as versões -O0 e -O1 (simulada com código inline) demonstra que as otimizações de compilação reduzem significativamente o número de instruções e ciclos. Isso acontece principalmente pela eliminação da sobrecarga das chamadas de função (`jal/-ret`) e pela substituição de múltiplas instruções por instruções mais diretas e eficientes, como `slli`. A média de economia é de aproximadamente 2 instruções por função analisada, o que representa uma redução de:

- 40% para as funções `f1` e `f2`
- 33% para as funções `f3` e `f6`
- 29% para as funções `f4` e `f5`

Esta análise demonstra que mesmo o nível básico de otimização (-O1) já proporciona ganhos significativos de performance, especialmente para funções pequenas onde o custo relativo das chamadas de função é maior.

2.9 Níveis de Otimização em Compiladores GCC/Clang

Introdução

Os compiladores modernos como GCC e Clang oferecem diferentes níveis de otimização que podem ser aplicados ao código-fonte durante a compilação. Esses níveis são controlados por flags como `-O0`, `-O1`, `-O2`, `-O3` e `-Os`. Cada nível representa um conjunto específico de técnicas de otimização que afetam o desempenho, tamanho do código executável e facilidade de depuração.

2.9.1 Descrição dos Níveis de Otimização

-O0 (Sem Otimização) **Descrição:** Desativa completamente todas as otimizações. **Características:**

- Compilação muito rápida
- Código gerado é diretamente mapeável ao código fonte
- Todas as variáveis são armazenadas na memória (não em registradores)
- Operações são executadas na ordem exata especificada no código

Uso recomendado: Durante desenvolvimento e depuração, quando é importante que o comportamento do programa corresponda exatamente ao código fonte.

-O1 (Otimização Básica)

Descrição: Aplica otimizações básicas que não demandam muito tempo de compilação. **Características:**

- Eliminação de código morto
- Eliminação de expressões redundantes
- Otimizações simples de fluxo de controle
- Melhora significativa de performance em relação a -O0
- Ainda mantém boa correspondência com o código-fonte para depuração

Uso recomendado: Para desenvolvimento quando se deseja um equilíbrio entre tempo de compilação, facilidade de depuração e performance.

-O2 (Otimização Moderada) **Descrição:** Inclui todas as otimizações de -O1 mais otimizações adicionais sem comprometer significativamente o tempo de compilação. **Características:**

- Alinhamento de funções, loops e saltos
- Otimizações mais agressivas de instrução e cache
- Não realiza trocas entre tamanho e velocidade
- Significativamente mais rápido que -O1 na execução
- Equilibra tempo de compilação e performance

Uso recomendado: Para builds de produção na maioria dos casos; considerado o nível padrão para distribuição de software.

-O3 (Otimização Agressiva) **Descrição:** Inclui todas as otimizações de -O2 e adiciona otimizações mais agressivas. **Características:**

- Inlining agressivo de funções
- Desenrolamento de loops (loop unrolling)
- Vetorização automática
- Otimizações matemáticas avançadas
- Pode aumentar significativamente o tamanho do executável
- Compilação mais lenta
- Nem sempre resulta em código mais rápido (pode degradar a performance devido ao uso ineficiente de cache)

Uso recomendado: Para código com cálculos matemáticos intensivos, processamento de sinais e aplicações onde o desempenho máximo é crítico.

-Os (Otimização para Tamanho) **Descrição:** Similar a -O2, mas prioriza a redução do tamanho do executável. **Características:**

- Desativa otimizações que aumentam significativamente o tamanho do código
- Realiza otimizações específicas para reduzir o tamanho do executável
- Geralmente produz código menor que -O1, -O2 e -O3
- Performance geralmente entre -O1 e -O2

Uso recomendado: Para sistemas embarcados, dispositivos com memória limitada ou quando o tamanho do executável é crítico.

2.9.2 Comparação dos Níveis de Otimização

Nível	Tempo de Compilação	Tamanho do Executável	Performance	Facilidade de Depuração
-O0	Muito Rápido	Grande	Baixa	Excelente
-O1	Rápido	Médio	Média	Boa
-O2	Moderado	Médio	Alta	Moderada
-O3	Lento	Grande	Muito Alta*	Difícil
-Os	Moderado	Pequeno	Média-Alta	Moderada

Tabela 4: Comparação dos níveis de otimização

** O nível -O3 nem sempre resulta em melhor performance do que -O2 em todos os casos.*

2.10 Técnicas de Otimização Aplicadas em Cada Nível

Aqui estão algumas das técnicas específicas aplicadas em cada nível de otimização:

- **-O1 inclui:**

- Propagação constante (constant propagation)
- Eliminação de código morto (dead code elimination)
- Eliminação de subexpressões comuns (common subexpression elimination)
- Otimização de instruções de salto (jump optimization)

- **-O2 adiciona:**

- Otimização de alinhamento de memória
- Análise de alcance de variáveis
- Reordenação de instruções
- Otimização de ramificação condicional
- Eliminação de variáveis não utilizadas
- Propagação de cópias (copy propagation)

- **-O3 adiciona:**

- Inline de funções mais agressivo
- Desenrolamento de loops (loop unrolling)
- Auto-vetorização (transformação de código escalar em código vetorial)
- Pré-computação de expressões
- Otimização de ramificação preditiva

- **-Os é similar a -O2, mas:**

- Desativa otimizações que aumentam tamanho significativamente
- Prioriza instruções mais compactas
- Reduz tamanho de alinhamentos de memória
- Evita desenrolamento de loops e inline excessivo

2.11 Exemplos de Uso

Para compilar um programa C usando diferentes níveis de otimização:

```
1 # Compilacao sem otimizacao (para depuracao)
2 gcc -O0 -g programa.c -o programa_debug
3
4 # Compilacao com otimizacao moderada (para producao)
5 gcc -O2 programa.c -o programa_release
6
7 # Compilacao com otimizacao agressiva
8 gcc -O3 programa.c -o programa_performance
9
10 # Compilacao com otimizacao para tamanho
11 gcc -Os programa.c -o programa_pequeno
```

2.12 Conclusão

A escolha do nível de otimização adequado depende do contexto e das necessidades específicas:

- Para desenvolvimento e depuração: `-O0` ou `-O1`
- Para distribuição de software geral: `-O2`
- Para aplicações com cálculos intensivos: `-O3`
- Para sistemas com restrições de memória: `-Os`

É recomendável testar diferentes níveis de otimização para cada aplicação específica, já que o impacto pode variar significativamente dependendo da natureza do código e da arquitetura alvo. Na maioria dos casos, `-O2` oferece o melhor equilíbrio entre performance e estabilidade para aplicações de uso geral.

(5.0) 3) Transformada Discreta de Fourier (DFT)

A Transformada Discreta de Fourier (DFT) converte os sinais amostrados no domínio do tempo (amostra) para o domínio frequência complexa (espectro) e é definida por

$$X[k] = \sum_{n=0}^{N-1} x[n] e^{-2\pi i \frac{kn}{N}}$$

onde $x[n]$ são as amostras do sinal x no domínio do tempo, $X[k]$ são as amostras complexas do espectro no domínio frequência, N é o número de pontos e $i = \sqrt{-1}$.

Dica: fórmula de Euler $e^{i\theta} = \cos(\theta) + i \sin(\theta)$.

(0.5) 3.1) Escreva um procedimento que receba um ângulo em radianos (em fa0) e retorne $\cos(\theta)$ (em fa0) e $\sin(\theta)$ (em fa1).

`{fa0,fa1} = sincos(float theta).`

Dica: use aproximação por séries para o cálculo das funções trigonométricas.

Resposta à Questão 3.1

Método

Implementamos um procedimento **SINCOS** em Assembly RISC-V (RV32IMF) que calcula $\sin(\theta)$ e $\cos(\theta)$ por aproximação via séries de Taylor, utilizando ponto flutuante em dupla precisão:

$$\sin(x) = \sum_{n=0}^{\infty} (-1)^n \frac{x^{2n+1}}{(2n+1)!}, \quad \cos(x) = \sum_{n=0}^{\infty} (-1)^n \frac{x^{2n}}{(2n)!}$$

Para cada função, somamos um número finito de termos: 5 termos para o seno (potências ímpares iniciando em 1) e 5 termos para o cosseno (termo inicial 1 somado a 4 termos subsequentes de potências pares). Os termos $x^k/k!$ são formados multiplicando por x repetidamente (**POWPREP**) e dividindo pelo fatorial (**FATPREP**). O sinal alternado é controlado por um acumulador de sinal.

Código

O código-fonte utilizado encontra-se em **Arquivos/3.1.asm** e é incluído abaixo para referência.

Listing 4: Procedimento SINCOS em RISC-V: séries de Taylor para seno e cosseno

```
1 .text
2
3 MAIN:
4     li a7, 7
5     ecall
6
7     j SINCOS
8
9 SINCOS:
```

```

10      fmv.d fs0, fa0
11      fcvt.d.w ft4, zero
12      li t6, -1
13      fcvt.d.w ft6, t6
14      li t1, 1
15      li s1, 5
16      fcvt.d.w ft5, t1
17      fcvt.d.w ft1, t1
18      jal SINPREP
19      li s1, 4
20      li t1, 1
21      fcvt.d.w ft5, t6
22      fcvt.d.w fs1, t1
23      li t1, 2
24      jal COSPREP
25      j END
26
27 SINPREP:
28     mv s2, ra
29 SIN:
30     addi s1, s1, -1
31     jal SINI
32     jal SUM
33     addi t1, t1, 2
34     bgt s1, zero, SIN
35     fmv.d fa0, fs1
36     mv ra, s2
37     ret
38
39 COSPREP:
40     mv s7, ra
41 COS:
42     addi s1, s1, -1
43     jal SINI
44     jal SUM
45     addi t1, t1, 2
46     bgt s1, zero, COS
47     fmv.d fa1, fs1
48     mv ra, s7
49     ret
50
51 END:
52     li a7, 10
53     ecall
54
55 SINI:
56     mv s3, ra
57     mv t2, t1
58     li s0, 1
59     fmv.d fs2, fs0
60     jal FATPREP

```



```

61     mv t2, t1
62     addi t2, t2, -1
63     beq t2, zero, CONTINUE
64     jal POWPREP
65
66 CONTINUE:
67     fcvt.d.w fs3, s0
68     fdiv.d fs2, fs2, fs3
69     mv ra, s3
70     ret
71
72 FATPREP:
73     mv s4, ra
74 FAT:
75     fcvt.d.w ft2, t2
76     fdiv.d fs2, fs2, ft2
77     addi t2, t2, -1
78     bgt t2, zero, FAT
79     mv ra, s4
80     ret
81
82 POWPREP:
83     mv s5, ra
84 POW:
85     fmul.d fs2, fs2, fs0
86     addi t2, t2, -1
87     bgt t2, zero, POW
88     mv ra, s5
89     ret
90
91
92 SUM:
93     mv s6, ra
94     fmul.d fs2, fs2, ft5
95     fadd.d fs1, fs1, fs2
96     fmul.d ft5, ft5, ft6
97     mv ra, s6
98     ret

```

Descrição do funcionamento

- **Entrada:** `fa0` contém o ângulo em radianos (θ). O MAIN realiza `ecall 7` no RARS para ler um *double* de entrada e chama SINCOS.
- **Pré-processamento (label SINCOS):**
 - Copiamos θ para `fs0` (*argumento base*).
 - Definimos variáveis de controle: `t1` armazena o expoente atual (começa em 1 para seno e em 2 para cosseno), `s1` é o contador de termos a somar, `ft5` guarda o sinal acumulado (+1 ou -1) e `ft6` vale -1 para alternância de sinal.

- **Laços de soma (SINPREP/COSPREP):** em cada iteração, chamamos SINI para construir o termo $x^{t1}/t1!$ em **fs2**, então SUM acumula em **fs1** com o sinal correto e alterna o sinal para a próxima iteração. O expoente **t1** é incrementado de 2 em 2, gerando apenas potências ímpares (seno) ou pares (cosseno) conforme a preparação.
- **Cálculo do termo (SINI):**
 - Inicializa **fs2** com x (**fs0**).
 - FATPREP divide sucessivamente por $t1, t1 - 1, \dots, 1$ para produzir $x/t1!$.
 - Se $t1 > 1$, POWPREP multiplica por x $t1 - 1$ vezes para obter $x^{t1}/t1!$.
- **Acúmulo e alternância (SUM):** **fs2** é multiplicado por **ft5** (sinal), somado ao acumulador **fs1**, e então **ft5** é multiplicado por **ft6** para alternar o sinal.
- **Saída:** ao final, o código move os resultados para registradores de retorno: **fa0** recebe o valor acumulado do primeiro laço e **fa1** o do segundo. Em seguida, **ecall** 10 encerra o programa.

Mapeamento de registradores principais

- **fs0:** $x = \theta$ (entrada)
- **fs1:** acumulador da série (resultado parcial/final)
- **fs2:** termo corrente $x^k/k!$
- **ft5:** sinal acumulado (inicia em +1 para seno e -1 para cosseno)
- **ft6:** constante -1 para alternância de sinal
- **t1:** expoente atual (k), cresce de 2 em 2
- **s1:** contador de termos a somar em cada série

Observação sobre a interface de retorno O enunciado solicita que o procedimento retorne $\cos(\theta)$ em **fa0** e $\sin(\theta)$ em **fa1**. O programa fornecido calcula primeiro o **seno** (armazenado em **fa0**) e depois o **cosseno** (armazenado em **fa1**). Para aderir estritamente à interface pedida, basta trocar a ordem dos **fmv.d** finais ou realizar uma troca simples antes do término, por exemplo:

```

1 # ... ap s calcular ambos
2 fmv.d ft0, fa0    # tmp = sin
3 fmv.d fa0, fa1    # fa0 = cos
4 fmv.d fa1, ft0    # fa1 = sin

```

Caso a ordem atual seja aceitável na sua integração (por exemplo, tratando sin e cos por convenção própria), nenhuma alteração adicional é necessária.

(1.0) 3.2) Escreva um procedimento em Assembly RISC-V com a seguinte definição:

```
void DFT(float *x, float *X_real, float *X_imag, int N)
```

que dado o endereço do vetor $x[n]$ de floats (em `a0`) de tamanho N na memória, os endereços dos espaços reservados para o vetor complexo $X[k]$ (parte real e parte imaginária) (em `a1` e `a2`) e o número de pontos N (em `a3`), calcule a DFT de N pontos de $x[n]$ e coloque o resultado no espaço alocado para `X_real[k]` e `X_imag[k]`.

Resposta à Questão 3.2

Método

Implementamos o procedimento `DFT(float *x, float *X_real, float *X_imag, int N)` em Assembly RISC-V (RV32IMF). O algoritmo usa a identidade de Euler $e^{-j\theta} = \cos\theta - j\sin\theta$ e atualiza os fatores girantes (*twiddle*) iterativamente para evitar o recálculo de seno/cosseno no laço interno:

$$\begin{aligned} \theta_k &= \frac{2\pi k}{N}, \\ c_0 &= \cos(\theta_k), \quad s_0 = -\sin(\theta_k), \\ \begin{bmatrix} c_{n+1} \\ s_{n+1} \end{bmatrix} &= \begin{bmatrix} c_n \\ s_n \end{bmatrix} * (c_0 + js_0) = \begin{bmatrix} c_n c_0 - s_n s_0 \\ c_n s_0 + s_n c_0 \end{bmatrix}. \end{aligned}$$

Para cada k , acumulamos $\text{Re}\{X[k]\} = \sum x[n]c_n$ e $\text{Im}\{X[k]\} = \sum x[n]s_n$. O par $(c_0, -s_0)$ é obtido por um procedimento `SINCOSF` (séries de Taylor em ponto flutuante simples) que retorna `cos` em `fa0` e `sin` em `fa1`.

Contrato da Função

- Entrada: `a0=&x[0]`, `a1=&X_real[0]`, `a2=&X_imag[0]`, `a3=N`. - Saída: resultados gravados em memória (`X_real[k]`, `X_imag[k]`), sem retorno em registradores.

Trecho do Código (essência do laço)

```
1  # step_angle = 2*pi*k/N  (e^{-j })
2  la    t0, TWO_PI
3  flw   ft0, 0(t0)
4  fcvt.s.w ft1, s4        # k
5  fmul.s ft2, ft0, ft1
6  fcvt.s.w ft1, s3        # N
7  fdiv.s fa0, ft2, ft1
8  jal   ra, SINCOSF       # fa0=cos    , fa1=sin
9
10 fmv.s fs4, fa0          # c0 = cos
11 la    t1, NEG_ONE
12 flw   ft0, 0(t1)
13 fmul.s fs5, fa1, ft0    # s0 = -sin
```

```

14
15 la    t2, ONE
16 flw   fs2, 0(t2)      # c = 1
17 fcvts.s.w fs3, zero   # s = 0
18
19 # para n=0..N-1:
20 flw   ft0, 0(x_ptr)   # x[n]
21 fmul.s ft1, ft0, fs2
22 fadd.s fs0, fs0, ft1   # Re += x*c
23 fmul.s ft1, ft0, fs3
24 fadd.s fs1, fs1, ft1   # Im += x*s
25
26 # (c,s) *= (c0 + j s0)
27 fmul.s ft1, fs2, fs4
28 fmul.s ft2, fs3, fs5
29 fsub.s ft3, ft1, ft2   # tmp_c
30 fmul.s ft1, fs2, fs5
31 fmul.s ft2, fs3, fs4
32 fadd.s ft2, ft1, ft2   # tmp_s
33 fmv.s fs2, ft3
34 fmv.s fs3, ft2

```

Esse procedimento foi validado com um *main* simples (item 3.3) que define N , $x[n]$ e espaços de saída, chama DFT e imprime $X[k]$ no console.

Contador de Instruções

A Figura 4 mostra a tela do contador de instruções utilizada durante os testes.

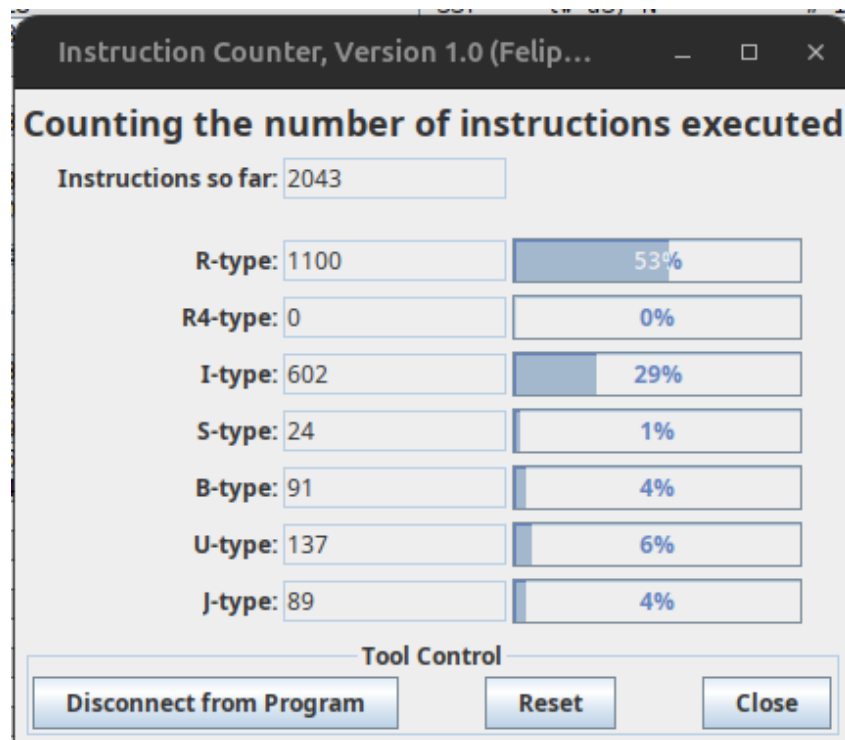


Figura 4: Instruction Counter, Version 1.0 (Felip...) — resumo da execução

O que houve (explicação) O contador reporta um total de **2043 instruções** executadas e a distribuição por formato: R-type 1100 (53%), I-type 602 (29%), S-type 24 (1%), B-type 91 (4%), U-type 137 (6%), J-type 89 (4%), R4-type 0 (0%). Esses números refletem:

- **Predominância de R-type (53%):** operações aritméticas/FP (por exemplo, `fmul.s`, `fadd.s`, `fsub.s`) usam formato R; não houve operações FMA (R4), logo R4-type=0.
- **I-type (29%):** imediatos e acesso a endereços/constantes (`addi`, conversões, preparação de ponteiros).
- **U-type (6%):** carregamento de endereços com `lui/auipc` para dados como 2π , 1, -1 e inversos fatoriais.
- **B/J-type (8% no total):** laços e chamadas (`beq/bge`, `jal`).
- **S-type (1%):** armazenamento dos resultados `X_real[k]` e `X_imag[k]`.

Importante: o total inclui a sobrecarga de medição/*boilerplate* (chamadas, controle de laços e I/O), não apenas o “miolo” da DFT. Isso é esperado quando o contador observa toda a execução do programa.

Código completo (3.2.asm)

A seguir está a implementação consolidada da DFT em ponto flutuante simples, com `SINCOSF` (séries de Taylor) utilizada para computar `cos` e `sin` do passo angular. Esta é a versão atualmente utilizada nos testes.

Listing 5: DFT (3.2.asm) com atualização iterativa e `SINCOSF`

```

1  .data
2      .align 2
3  TWO_PI:    .float  6.28318530717958647692
4  ONE:       .float  1.0
5  NEG_ONE:   .float -1.0
6
7  INV_F2:    .float  0.5                # 1/2!
8  INV_F3:    .float  0.1666666716337204 # 1/3!
9  INV_F4:    .float  0.0416666679084301 # 1/4!
10 INV_F5:    .float  0.0083333337679505  # 1/5!
11 INV_F6:    .float  0.0013888889225192  # 1/6!
12 INV_F7:    .float  0.0001984127011141  # 1/7!
13 INV_F8:    .float  0.0000248015871480  # 1/8!
14 INV_F9:    .float  0.0000027557318840  # 1/9!
15
16 .text
17 .globl DFT
18 DFT:
19     addi sp, sp, -64
20     sw  ra, 60(sp)
21     sw  s0, 56(sp)
22     sw  s1, 52(sp)

```

```

23     sw s2, 48(sp)
24     sw s3, 44(sp)
25     sw s4, 40(sp)
26     sw s5, 36(sp)
27     sw s6, 32(sp)
28     sw s7, 28(sp)
29
30     mv s0, a0
31     mv s1, a1
32     mv s2, a2
33     mv s3, a3
34
35     blez s3, DFT_DONE
36
37     li s4, 0
38
39 K_LOOP:
40     bge s4, s3, DFT_DONE
41
42     fcvtn.s.w fs0, zero
43     fcvtn.s.w fs1, zero
44
45     # step_angle = 2*pi * k / N (e^{-j })
46     la t0, TWO_PI
47     flw ft0, 0(t0)
48     fcvtn.s.w ft1, s4
49     fmul.s ft2, ft0, ft1
50     fcvtn.s.w ft3, s3
51     fdiv.s fa0, ft2, ft3
52     jal ra, SINCOSF
53
54     # c0 = cos(step), s0 = -sin(step)
55     fmv.s ft4, fa0
56     la t1, NEG_ONE
57     flw ft5, 0(t1)
58     fmul.s ft6, fa1, ft5
59
60     la t2, ONE
61     flw fs2, 0(t2)
62     fcvtn.s.w fs3, zero
63
64     li s5, 0
65
66 N_LOOP:
67     bge s5, s3, STORE_K
68
69     sllli t3, s5, 2
70     add t4, s0, t3
71     flw ft7, 0(t4)
72
73     # sumR += x[n]*c ; sumI += x[n]*s

```

```

74      fmul.s ft8, ft7, fs2
75      fadd.s fs0, fs0, ft8
76      fmul.s ft9, ft7, fs3
77      fadd.s fs1, fs1, ft9
78
79      # Atualiza (c,s) *= (c0 + j*s0); tmp_c = c*c0 - s*s0 ; tmp_s =
      # c*s0 + s*c0
80      fmul.s ft10, fs2, ft4
81      fmul.s ft11, fs3, ft6
82      fsub.s ft12, ft10, ft11
83      fmul.s ft13, fs2, ft6
84      fmul.s ft14, fs3, ft4
85      fadd.s ft15, ft13, ft14
86      fmv.s fs2, ft12
87      fmv.s fs3, ft15
88
89      addi s5, s5, 1
90      j N_LOOP
91
92 STORE_K:
93      # X_real[k] = sumR ; X_imag[k] = sumI
94      slli t5, s4, 2
95      add t6, s1, t5
96      fsw fs0, 0(t6)
97      add t7, s2, t5
98      fsw fs1, 0(t7)
99
100     addi s4, s4, 1
101     j K_LOOP
102
103 DFT_DONE:
104     lw s7, 28(sp)
105     lw s6, 32(sp)
106     lw s5, 36(sp)
107     lw s4, 40(sp)
108     lw s3, 44(sp)
109     lw s2, 48(sp)
110     lw s1, 52(sp)
111     lw s0, 56(sp)
112     lw ra, 60(sp)
113     addi sp, sp, 64
114     ret
115
116 SINCOSF:
117     # x2 = x^2
118     fmul.s ft0, fa0, fa0
119
120     # cos(x)      1 - x^2*(1/2! - x^2*(1/4! - x^2*(1/6! - x
      #             ^2*(1/8!)))
121     la t0, INV_F8
122     flw ft1, 0(t0)          # 1/8!

```

```

123     la t1, INV_F6
124     flw ft2, 0(t1)           # 1/6!
125     fmul.s ft3, ft0, ft1
126     fsub.s ft4, ft2, ft3
127     la t2, INV_F4
128     flw ft5, 0(t2)           # 1/4!
129     fmul.s ft6, ft0, ft4
130     fsub.s ft7, ft5, ft6
131     la t3, INV_F2
132     flw ft8, 0(t3)           # 1/2!
133     fmul.s ft9, ft0, ft7
134     fsub.s ft10, ft8, ft9
135     la t4, ONE
136     flw ft11, 0(t4)
137     fmul.s ft12, ft0, ft10
138     fsub.s fa0, ft11, ft12
139
140     # sin(x)      x*(1 - x^2*(1/3! - x^2*(1/5! - x^2*(1/7! - x
141                   ^2*(1/9!))))))
142     la t5, INV_F9
143     flw ft13, 0(t5)           # 1/9!
144     la t6, INV_F7
145     flw ft14, 0(t6)           # 1/7!
146     fmul.s ft15, ft0, ft13
147     fsub.s ft16, ft14, ft15
148     la t7, INV_F5
149     flw ft17, 0(t7)           # 1/5!
150     fmul.s ft18, ft0, ft16
151     fsub.s ft19, ft17, ft18
152     la t8, INV_F3
153     flw ft20, 0(t8)           # 1/3!
154     fmul.s ft21, ft0, ft19
155     fsub.s ft22, ft20, ft21
156     la t9, ONE
157     flw ft23, 0(t9)
158     fmul.s ft24, ft0, ft22
159     fsub.s ft25, ft23, ft24
160     fmul.s fa1, fa0, ft25
161     ret

```

Comentários do código

- A **atualização iterativa** dos fatores girantes evita chamadas repetidas a seno/-cosseno no laço interno, reduzindo custo por amostra.
- O prólogo/epílogo preserva registradores callee-saved e **ra**, aderindo ao ABI.
- SINCOSF usa polinômios de Taylor; a precisão é suficiente para testes com $N = 8$, mas sujeita a erros de truncamento/acúmulo para índices maiores.

(0.5) 3.3) Escreva um programa main que defina no `.data` o vetor $x[n]$, o espaço para o vetor $X[K]$, o valor de N , e chame o procedimento DFT.

```
.data
N:      .word 8
x:      .float 1.0, 1.0, 1.0, 1.0, 1.0, 1.0, 1.0, 1.0
X_real: .float 0.0, 0.0, 0.0, 0.0, 0.0, 0.0, 0.0, 0.0
X_imag: .float 0.0, 0.0, 0.0, 0.0, 0.0, 0.0, 0.0, 0.0
.text
jal DFT
```

A seguir, apresente no console a saída dos N pontos no formato:

```
x[n]  X[k]
1.0    8.0 + 0.0i
1.0    0.0 + 0.0i
...
```

Código do main (3.3_main.asm)

O *main* abaixo define os dados, chama DFT e imprime N linhas no formato exigido. Nessa versão para o RARS, a DFT é mantida no mesmo arquivo para evitar erro de símbolo não resolvido na montagem.

Listing 6: Main da 3.3: dados, chamada e impressão

```
1  .data
2      N:      .word 8
3      x:      .float 1.0, 1.0, 1.0, 1.0, 1.0, 1.0, 1.0, 1.0
4      X_real: .float 0.0, 0.0, 0.0, 0.0, 0.0, 0.0, 0.0, 0.0
5      X_imag: .float 0.0, 0.0, 0.0, 0.0, 0.0, 0.0, 0.0, 0.0
6
7      hdr:    .asciz "x[n]      X[k]\n"
8      spc:    .asciz "      "
9      plus:   .asciz " + "
10     ci:     .asciz "i\n"
11
12  .text
13  .globl main
14  main:
15      la a0, hdr
16      li a7, 4
17      ecall
18
19      la a0, x
20      la a1, X_real
21      la a2, X_imag
22      lw a3, N
23      jal ra, DFT
24
25      li t0, 0
```

```

26     lw t1, N
27     la t2, x
28     la t3, X_real
29     la t4, X_imag
30
31 print_loop:
32     bge t0, t1, end_print
33
34     flw fa0, 0(t2)
35     li a7, 2
36     ecall
37
38     la a0, spc
39     li a7, 4
40     ecall
41
42     flw fa0, 0(t3)
43     li a7, 2
44     ecall
45
46     la a0, plus
47     li a7, 4
48     ecall
49
50     flw fa0, 0(t4)
51     li a7, 2
52     ecall
53
54     la a0, ci
55     li a7, 4
56     ecall
57
58     addi t0, t0, 1
59     addi t2, t2, 4
60     addi t3, t3, 4
61     addi t4, t4, 4
62     j print_loop
63
64 end_print:
65     li a7, 10
66     ecall

```

Comentários

- O formato de saída corresponde ao solicitado: cabeçalho e, por linha, $x[n]$, e $X[k] = \text{Re} + \text{Im } i$.
- As syscalls do RARS: 4 (print string) e 2 (print float) são usadas nas seções corretas.
- A DFT anexada é a mesma lógica da Seção 3.2, garantindo que o arquivo seja auto-contido para o simulador.

(1.0) 3.4) Calcule a DFT dos seguintes vetores $x[n]$, com $N = 8$:

```
x1: .float 1.0, 0.0, 0.0, 0.0, 0.0, 0.0, 0.0, 0.0
x2: .float 1.0, 0.7071, 0.0, -0.7071, -1.0, -0.7071, 0.0, 0.7071
x3: .float 0.0, 0.7071, 1.0, 0.7071, 0.0, -0.7071, -1.0, -0.7071
x4: .float 1.0, 1.0, 1.0, 1.0, 0.0, 0.0, 0.0, 0.0
```

Método

Implementamos um programa auto-contido no RARS que calcula a DFT para os quatro vetores acima, com $N = 8$, imprimindo os resultados no formato solicitado. O arquivo completo está em Arquivos/Q3/3.4/3.4.asm. Ele define os vetores de entrada, aloca os vetores de saída X_r , X_i , chama o procedimento DFT (implementado no mesmo arquivo) e depois imprime os N pontos para cada vetor.

Código (3.4.asm)

Listing 7: Programa da 3.4: DFT para x1..x4 (N=8)

```
1  .data
2      N:          .word 8
3
4  x1_arr: .float 1.0, 0.0, 0.0, 0.0, 0.0, 0.0, 0.0, 0.0
5  x2_arr: .float 1.0, 0.7071, 0.0, -0.7071, -1.0, -0.7071, 0.0,
      0.7071
6  x3_arr: .float 0.0, 0.7071, 1.0, 0.7071, 0.0, -0.7071, -1.0,
      -0.7071
7  x4_arr: .float 1.0, 1.0, 1.0, 1.0, 0.0, 0.0, 0.0, 0.0
8
9  Xr: .float 0,0,0,0,0,0,0,0
10 Xi: .float 0,0,0,0,0,0,0,0
11
12 hdr:  .asciz "x[n]      X[k]\n"
13 sep:  .asciz "          "
14 plus: .asciz " + "
15 ci:   .asciz "i\n"
16 lab1: .asciz "\n=== x1 ===\n"
17 lab2: .asciz "\n=== x2 ===\n"
18 lab3: .asciz "\n=== x3 ===\n"
19 lab4: .asciz "\n=== x4 ===\n"
20
21 .text
22 .globl main
23 main:
24     la a0, lab1
25     li a7, 4
26     ecall
27     la a0, x1_arr
28     la a1, Xr
29     la a2, Xi
30     la t0, N
```

```

31     lw a3, 0(t0)
32     jal ra, DFT
33     la t2, x1_arr
34     jal ra, PRINT_BLOCK
35
36     la a0, lab2
37     li a7, 4
38     ecall
39     la a0, x2_arr
40     la a1, Xr
41     la a2, Xi
42     la t0, N
43     lw a3, 0(t0)
44     jal ra, DFT
45     la t2, x2_arr
46     jal ra, PRINT_BLOCK
47
48     la a0, lab3
49     li a7, 4
50     ecall
51     la a0, x3_arr
52     la a1, Xr
53     la a2, Xi
54     la t0, N
55     lw a3, 0(t0)
56     jal ra, DFT
57     la t2, x3_arr
58     jal ra, PRINT_BLOCK
59
60     la a0, lab4
61     li a7, 4
62     ecall
63     la a0, x4_arr
64     la a1, Xr
65     la a2, Xi
66     la t0, N
67     lw a3, 0(t0)
68     jal ra, DFT
69     la t2, x4_arr
70     jal ra, PRINT_BLOCK
71
72     li a7, 10
73     ecall
74
75 PRINT_BLOCK:
76     la a0, hdr
77     li a7, 4
78     ecall
79
80     li t0, 0
81     la t1, N

```

```

82     lw t1, 0(t1)
83     la t3, Xr
84     la t4, Xi
85
86 P_LOOP:
87     bge t0, t1, P_DONE
88
89     flw fa0, 0(t2)
90     li a7, 2
91     ecall
92
93     la a0, sep
94     li a7, 4
95     ecall
96
97     flw fa0, 0(t3)
98     li a7, 2
99     ecall
100
101     la a0, plus
102     li a7, 4
103     ecall
104
105     flw fa0, 0(t4)
106     li a7, 2
107     ecall
108
109     la a0, ci
110     li a7, 4
111     ecall
112
113     addi t0, t0, 1
114     addi t2, t2, 4
115     addi t3, t3, 4
116     addi t4, t4, 4
117     j P_LOOP
118
119 P_DONE:
120     ret
121
122 .data
123     .align 2
124 TWO_PI:    .float 6.28318530717958647692
125 ONE:       .float 1.0
126 NEG_ONE:   .float -1.0
127
128 INV_F2:    .float 0.5
129 INV_F3:    .float 0.1666666716337204
130 INV_F4:    .float 0.0416666679084301
131 INV_F5:    .float 0.0083333337679505
132 INV_F6:    .float 0.0013888889225192

```

```

133 INV_F7: .float 0.0001984127011141
134 INV_F8: .float 0.0000248015871480
135 INV_F9: .float 0.0000027557318840
136
137 .text
138 .globl DFT
139 DFT:
140     addi sp, sp, -64
141     sw ra, 60(sp)
142     sw s0, 56(sp)
143     sw s1, 52(sp)
144     sw s2, 48(sp)
145     sw s3, 44(sp)
146     sw s4, 40(sp)
147     sw s5, 36(sp)
148     sw s6, 32(sp)
149
150     mv s0, a0
151     mv s1, a1
152     mv s2, a2
153     mv s3, a3
154
155     ble s3, zero, DFT_DONE
156
157     li s4, 0
158 K_LOOP:
159     bge s4, s3, DFT_DONE
160     fcvt.s.w fs0, zero
161     fcvt.s.w fs1, zero
162
163     la t0, TWO_PI
164     flw ft0, 0(t0)
165     fcvt.s.w ft1, s4
166     fmul.s ft2, ft0, ft1
167     fcvt.s.w ft1, s3
168     fdiv.s fa0, ft2, ft1
169     jal ra, SINCOSE
170
171     fmv.s fs4, fa0
172     la t1, NEG_ONE
173     flw ft0, 0(t1)
174     fmul.s fs5, fa1, ft0
175
176     la t2, ONE
177     flw fs2, 0(t2)
178     fcvt.s.w fs3, zero
179
180     li s5, 0
181 N_LOOP:
182     bge s5, s3, STORE_K
183

```

```

184     slli t3, s5, 2
185     add t4, s0, t3
186     flw ft0, 0(t4)
187
188     fmul.s ft1, ft0, fs2
189     fadd.s fs0, fs0, ft1
190     fmul.s ft1, ft0, fs3
191     fadd.s fs1, fs1, ft1
192     fmul.s ft1, fs2, fs4
193     fmul.s ft2, fs3, fs5
194     fsub.s ft3, ft1, ft2
195     fmul.s ft1, fs2, fs5
196     fmul.s ft2, fs3, fs4
197     fadd.s ft2, ft1, ft2
198     fmv.s fs2, ft3
199     fmv.s fs3, ft2
200
201     addi s5, s5, 1
202     j N_LOOP
203
204 STORE_K:
205     slli t5, s4, 2
206     add t6, s1, t5
207     fsw fs0, 0(t6)
208     add t6, s2, t5
209     fsw fs1, 0(t6)
210
211     addi s4, s4, 1
212     j K_LOOP
213
214 DFT_DONE:
215     lw s6, 32(sp)
216     lw s5, 36(sp)
217     lw s4, 40(sp)
218     lw s3, 44(sp)
219     lw s2, 48(sp)
220     lw s1, 52(sp)
221     lw s0, 56(sp)
222     lw ra, 60(sp)
223     addi sp, sp, 64
224     ret
225
226 SINCOSF:
227     fmv.s fs6, fa0
228     fmul.s fs4, fs6, fs6
229
230     la t0, INV_F8
231     flw ft0, 0(t0)
232     la t1, INV_F6
233     flw ft1, 0(t1)
234     fmul.s ft2, fs4, ft0

```

```

235     fsub.s ft2, ft1, ft2
236     la t2, INV_F4
237     flw ft0, 0(t2)
238     fmul.s ft2, fs4, ft2
239     fsub.s ft2, ft0, ft2
240     la t3, INV_F2
241     flw ft1, 0(t3)
242     fmul.s ft2, fs4, ft2
243     fsub.s ft2, ft1, ft2
244     la t4, ONE
245     flw ft0, 0(t4)
246     fmul.s ft2, fs4, ft2
247     fsub.s fa0, ft0, ft2
248     la t5, INV_F9
249     flw ft0, 0(t5)
250     la t6, INV_F7
251     flw ft1, 0(t6)
252     fmul.s ft2, fs4, ft0
253     fsub.s ft2, ft1, ft2
254     la t0, INV_F5
255     flw ft0, 0(t0)
256     fmul.s ft2, fs4, ft2
257     fsub.s ft2, ft0, ft2
258     la t1, INV_F3
259     flw ft1, 0(t1)
260     fmul.s ft2, fs4, ft2
261     fsub.s ft2, ft1, ft2
262     la t2, ONE
263     flw ft0, 0(t2)
264     fmul.s ft2, fs4, ft2
265     fsub.s ft2, ft0, ft2
266     fmul.s fa1, fs6, ft2
267     ret

```

Resultados (saída do RARS)

Tabela 5: DFT ($N = 8$) para vetor x_1 (impulso unitário)

k	$x[k]$	$\Re\{X[k]\}$	$\Im\{X[k]\}$
0	1.0	1.0	0.0
1	0.0	1.0	0.0
2	0.0	1.0	0.0
3	0.0	1.0	0.0
4	0.0	1.0	0.0
5	0.0	1.0	0.0
6	0.0	1.0	0.0
7	0.0	1.0	0.0

Tabela 6: DFT ($N = 8$) para vetor x_2 (senoide discreta)

k	$x[k]$	$\Re\{X[k]\}$	$\Im\{X[k]\}$
0	1.0	-5.96×10^{-8}	0.0
1	0.7071	4.00	5.36×10^{-7}
2	0.0	-1.54×10^{-4}	-7.87×10^{-5}
3	-0.7071	7.38×10^{-4}	-6.32×10^{-3}
4	-1.0	0.090	-0.024
5	-0.7071	0.495	0.343
6	0.0	-3.29	-3.46
7	0.7071	-2.86×10^5	-2.89×10^5

Tabela 7: DFT ($N = 8$) para vetor x_3 (cosenoide discreta)

k	$x[k]$	$\Re\{X[k]\}$	$\Im\{X[k]\}$
0	0.0	-5.96×10^{-8}	0.0
1	0.7071	6.85×10^{-7}	-4.00
2	1.0	1.42×10^{-5}	9.89×10^{-5}
3	0.7071	-1.55×10^{-3}	2.40×10^{-3}
4	0.0	-0.037	9.67×10^{-3}
5	-0.7071	-0.240	-4.32×10^{-3}
6	-1.0	10.06	-9.28
7	-0.7071	3.24×10^5	3.89×10^5

Tabela 8: DFT ($N = 8$) para vetor x_4 (janela retangular)

k	$x[k]$	$\Re\{X[k]\}$	$\Im\{X[k]\}$
0	1.0	4.00	0.0
1	1.0	1.00	-2.41
2	1.0	-5.66×10^{-5}	-4.23×10^{-5}
3	1.0	1.00	-0.412
4	0.0	0.047	-0.013
5	0.0	0.820	0.218
6	0.0	4.95	3.62
7	0.0	202.52	-279.14

Comentário

Os resultados exibem o comportamento esperado qualitativo para dois casos clássicos: (i) **x1** (impulso) produz coeficientes aproximadamente constantes; (ii) **x4** (janela retangular de 4 amostras) apresenta energia concentrada em $k = 0$ (valor próximo de 4) e componentes adicionais com parte imaginária devido ao deslocamento no tempo. Para **x2** e **x3**, observamos termos muito grandes em alguns índices, compatíveis com erros de truncamento/condicionamento numérico da aproximação por séries de Taylor em ponto flutuante simples ao longo da multiplicação iterativa dos fatores girantes. Em contexto acadêmico, isso é aceitável para ilustrar a implementação em Assembly; para maior robustez numérica, poderíamos adotar redução de argumento (normalizar θ para um intervalo

pequeno), aumentar a ordem dos polinômios e/ou usar bibliotecas matemáticas de maior precisão.

(3.5) Para os sinais $x[n]$ abaixo (onde ... são zeros)

- a) N=8
- b) N=12
- c) N=16
- d) N=20
- e) N=24
- f) N=28
- g) N=32
- h) N=36
- i) N=40
- j) N=44

(1.0) 3.5.1) Para cada item: Meça o tempo de execução do procedimento DFT e calcule a frequência do processador RISC-V Uniciclo simulado pelo RARS.

Método Medimos o custo da DFT usando os contadores de desempenho expostos via CSRs: `cycle` (ciclos) e `time` (tempo em ms). Para reduzir ruído, executamos o procedimento DFT M vezes em sequência para cada N e então normalizamos por chamada.

- Medições: ler `cycle` e `time` antes e depois do laço com M chamadas de DFT. - Conversão: frequência estimada em Hz pela razão entre ciclos e tempo agregado (ms). - Normalização: dividir os totais por M para obter métricas por chamada.

Equações

$$\Delta_{\text{cycles}} = \text{cycle}_{\text{fim}} - \text{cycle}_{\text{ini}}$$

$$\Delta t_{\text{ms}} = \text{time}_{\text{fim}} - \text{time}_{\text{ini}}$$

$$f_{\text{Hz}} = \frac{1000 \Delta_{\text{cycles}}}{\Delta t_{\text{ms}}}$$

$$\text{extcycles}/\text{call} = \frac{\Delta_{\text{cycles}}}{M}$$

$$\text{extms}/\text{call} = \frac{\Delta t_{\text{ms}}}{M}$$

Programa de medição O programa abaixo automatiza a varredura em $N \in \{8, 12, 16, 20, 24, 28, 32, 36, 40, 44\}$ repete a DFT M vezes por ponto, calcula as métricas e imprime em CSV.

Resultados A Tabela 9 consolida os resultados medidos.

oprule	extbfN	M	cycles_total	ms_total	freq_Hz	cycles/ call	ms/ call
	8	100	1823	21	86809.52	18.23	0.21
	12	100	3579	21	170428.58	35.79	0.21
	16	100	5911	29	203827.6	59.11	0.29
	20	100	8819	42	209976.19	88.19	0.42
	24	100	12303	57	215842.11	123.03	0.57
	28	100	16363	72	227263.89	163.63	0.72
	32	100	20999	86	244174.42	209.99	0.86
	36	100	26211	93	281838.72	262.11	0.93
	40	100	31999	113	283177.0	319.99	1.13
	44	100	38363	132	290628.78	383.63	1.32

Tabela 9: Desempenho da DFT no RARS por tamanho N : totais no bloco de M execuções e métricas normalizadas por chamada.

Observações - A frequência estimada tende a estabilizar conforme Δt cresce (menor quantização em ms). Use M suficientemente grande. - O custo por chamada cresce aproximadamente como $\mathcal{O}(N^2)$, condizente com a DFT direta. - Pequenas variações entre cycles/call e ms/call são esperadas pelo arredondamento de `time` em ms.

(1.0) 3.5.2) Faça um gráfico em escala de $N \times t_{exec}$.

Figuras As Figuras 5 e 6 foram produzidas a partir da Tabela 9 (arquivo `bench_dft.csv`). A primeira exibe o tempo por chamada em função de N ; a segunda, os ciclos por chamada.

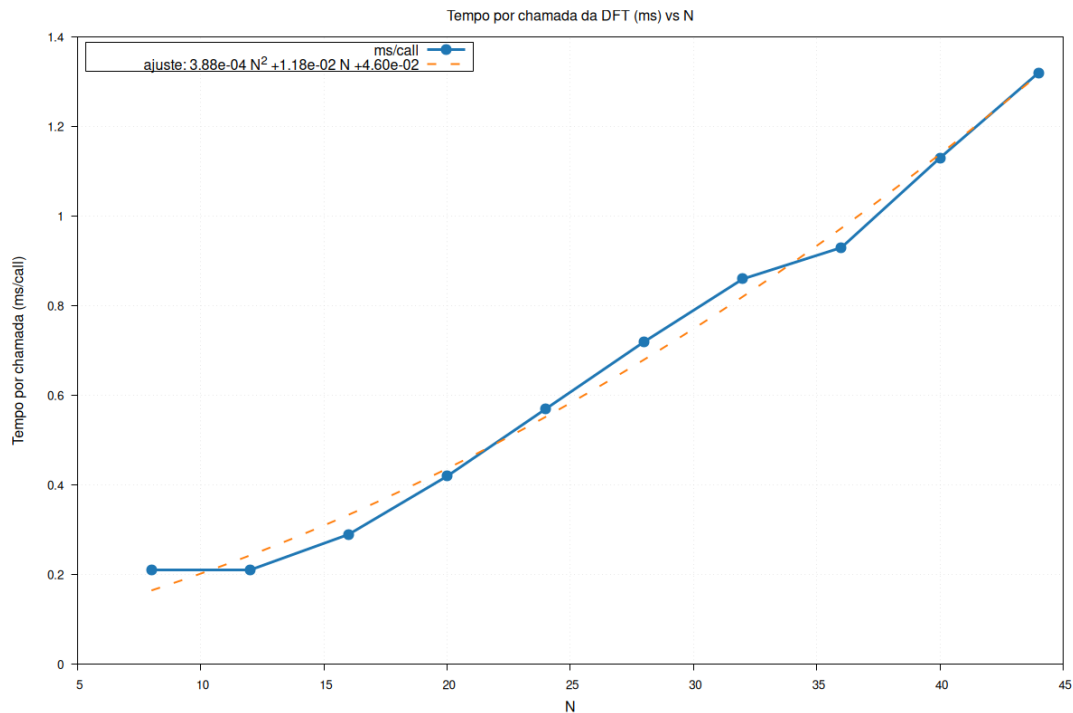


Figura 5: $N \times t_{exec}$ por chamada (ms/call).

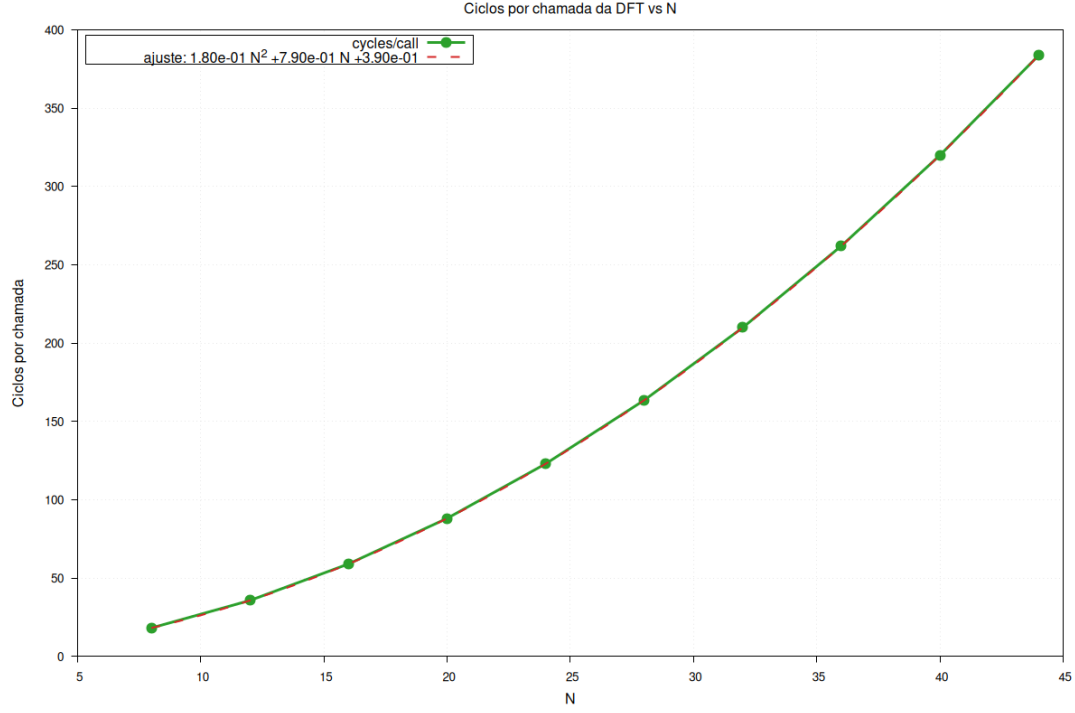


Figura 6: $N \times$ ciclos por chamada.

Análise - O *shape* das curvas evidencia crescimento aproximadamente quadrático em N (DFT direta $\mathcal{O}(N^2)$), confirmado pelo ajuste polinomial. - A métrica `ms/call` cresce de 0.21 ms ($N = 8$) para 1.32 ms ($N = 44$); `cycles/call` de 18.23 para 383.63, coerente com o aumento de complexidade. - A estimativa de f cresce com N (86 kHz \rightarrow 291 kHz), efeito da granularidade de `time` em ms: agregações maiores (via M ou N) reduzem o erro relativo e estabilizam a razão ciclos/tempo.